



Improvement of Hydrodynamic Response of a Semi-submersible Wind Turbine with Damping Sheets

Seyede Sajede Mousavi Sardari¹, Arefeh Emami^{2*} 

¹ Student of Marine and Coastal Engineering, University of Hormozgan, (sajede.mousavi@gmail.com)

² Assistant Professor at offshore Structures, University of Hormozgan, (emami@hormozgan.ac.ir)

ARTICLE INFO

Article History:

Received: 01 Mar 2025

Last modification: 22 Apr 2025

Accepted: 23 Apr 2025

Available online: 23 Apr 2025

Article type:

Research paper

Keywords:

Semi-submersible Wind Turbine

Damping sheets

Hydrodynamic Response

Resonance Phenomena

Boundary Element Method

ABSTRACT

This study investigated the effect of damping plates on the hydrodynamic responses of a semi-submersible wind turbine. First, the original turbine model without damping plates was simulated under wave loading using the Boundary Element Method (BEM), and the results were validated against experimental data. Following this, eight different configurations of damping plates—varying in size, quantity, and installation position—were evaluated. The results revealed that the introduction of damping plates increased the natural period of heave motion while reducing its response amplitude in the vicinity of this period. While these plates also extended the natural period of pitch motion, they did not effectively reduce its response amplitude. Analysis of surge motion further confirmed that the damping plates were beneficial in alleviating this movement. The evaluation of structural behavior under 10-year and 100-year wave conditions demonstrated that damping plates significantly reduced heave and surge motions, although they did not yield positive effects on pitch motion. Nevertheless, in all scenarios, the natural period of the structure separated from the wave period, preventing resonance. Ultimately, damping plates with a diameter of 25 meters connected to the columns positioned 5 meters from the pontoons, as well as damping plates with a diameter of 30 meters attached to the pontoons, were identified as optimal solutions for enhancing the hydrodynamic performance of this turbine.

ISSN: 2645-8136



DOI: <http://dx.doi.org/10.61186/marineeng.21.45.67>

Copyright: © 2025 by the authors. Submitted for possible open access publication under the terms and conditions of the Creative Commons Attribution (CC BY) license [<https://creativecommons.org/licenses/by/4.0/>]



بهبود پاسخ هیدرودینامیکی توربین بادی نیمه مغروق اصلاح شده با ورق‌های میراگر

سیده ساجده موسوی سردری^۱، عارفه امامی^{۲*} 

^۱ دانشجوی کارشناسی ارشد سواحل، بنادر و سازه‌های دریایی، دانشگاه هرمزگان، sajede.mousavi@gmail.com

^۲ استادیار سازه‌های دریایی، دانشگاه هرمزگان، emami@hormozgan.ac.ir

چکیده

در این مطالعه، تأثیر ورق‌های میراگر بر پاسخ‌های هیدرودینامیکی توربین بادی نیمه‌مغروق مورد بررسی قرار گرفته است. ابتدا، مدل اولیه توربین بدون ورق‌های میراگر تحت بار موج با استفاده از روش عددی المان مرزی (BEM) شبیه‌سازی و نتایج آن با داده‌های آزمایشگاهی تأیید شد. سپس هشت پیکربندی مختلف از ورق‌های میراگر، شامل تغییرات در ابعاد، تعداد و موقعیت نصب، ارزیابی گردید. نتایج نشان داد که استفاده از ورق‌های میراگر موجب افزایش پریود طبیعی حرکت هیو و کاهش دامنه پاسخ آن در اطراف این پریود می‌شود. هرچند این ورق‌ها پریود طبیعی حرکت پیچ را افزایش دادند، اما تأثیر مثبتی بر کاهش دامنه پاسخ پیچ نداشتند. بررسی حرکت سرج نیز تأیید کرد که ورق‌های میراگر تأثیر مثبتی در کاهش این حرکت دارند. تحلیل رفتار سازه تحت شرایط موج ده‌ساله و صدساله نشان داد که ورق‌های میراگر به‌طور مؤثری حرکات هیو و سرج را کاهش می‌دهند، درحالی‌که تأثیر مطلوبی بر حرکت پیچ ندارند. باین‌حال، در تمامی حالات، پریود طبیعی سازه از پریود موج فاصله می‌گیرد که از بروز تشدید جلوگیری می‌کند. در نهایت، ورق‌های میراگر با قطر ۲۵ متر متصل به ستون‌ها در فاصله ۵ متری از پانتون‌ها، و همچنین ورق‌های میراگر با قطر ۳۰ متر متصل به پانتون‌ها به‌عنوان گزینه‌های بهینه برای بهبود عملکرد هیدرودینامیکی توربین پیشنهاد گردید.

اطلاعات مقاله

ناریخچه مقاله:

تاریخ دریافت مقاله: ۱۴۰۳/۱۲/۱۱

تاریخ اصلاح مقاله: ۱۴۰۴/۰۲/۰۲

تاریخ پذیرش مقاله: ۱۴۰۴/۰۲/۰۳

تاریخ انتشار مقاله: ۱۴۰۴/۰۲/۰۳

نوع مقاله:

مقاله پژوهشی

کلمات کلیدی:

توربین بادی نیمه مغروق

ورق‌های میراگر

پاسخ هیدرودینامیکی

پدیده تشدید

روش المان مرزی

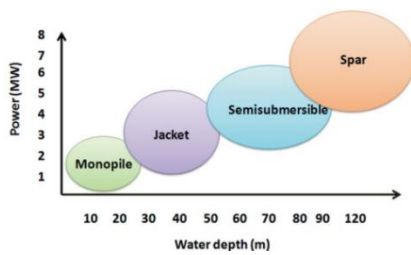
DOI: <http://dx.doi.org/10.61186/marineeng.21.45.67>

ISSN: 2645-8136

حق نشر: © ۲۰۲۵ توسط نویسندگان. این اثر برای انتشار با دسترسی آزاد، تحت شرایط و ضوابط مجوز

(CC BY) ارسال شده است.





شکل ۲. میزان حدودی توان تولید شده توسط توربین های بادی فراساحلی در اعماق مختلف [۲]

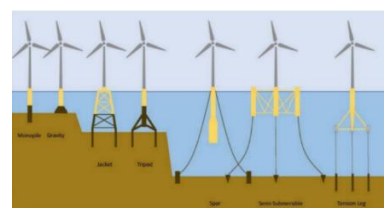
طراحی بهینه و مقرون به صرفه توربین های شناور، محققان را به تحلیل دقیق تر دینامیک و پاسخ های این سازه ها سوق داده است. در آب های عمیق تر، هندسه های شناور مانند نیمه مغروق ها و اسپارها برای توربین ها استفاده می شوند. در این میان فونداسیون توربین بادی نیمه مغروق که موضوع این مطالعه است نوعی فونداسیون شناور است که برای نصب توربین های بادی در آب های عمیق تر از ۵۰ متر طراحی شده و از ستون های عمودی زیر سطح آب تشکیل می شود. این فونداسیون ها در برابر امواج و جریان ها مقاوم بوده و در مناطقی با دسترسی محدود به فونداسیون های ثابت، گزینه ای مقرون به صرفه به شمار می آیند. طراحی آن ها شامل شناور اصلی و ستون های عمودی است که پایداری توربین را در شرایط سخت دریایی حفظ می کنند. فونداسیون ها ممکن است در اشکال مختلف مثلثی، مربعی یا مستطیلی برای بهبود پایداری طراحی شوند. این فونداسیون ها ترکیبی از شناوری و مقاومت در برابر نیروهای محیطی را ارائه می دهند و بر اساس ویژگی های هر پروژه خاص بهینه سازی می شوند.

یکی از مهم ترین مسائل مربوط به بررسی و شناخت رفتار فونداسیون نیمه مغروق، جهت و ماهیت حرکتی است که می تواند داشته باشد. سازه نیمه مغروق به دلیل نیمه مغروق بودن آن دارای شش درجه آزادی حرکت انتقالی و غلتشی است این حرکات شامل حرکت سرج (حرکت در امتداد محور طولی) ^۱، سوا (حرکت در امتداد محور عرضی) ^۲، هیو (حرکت در امتداد محور قائم سکو) ^۳، رول (غلتش حول محور طولی) ^۴، پیچ (غلتش حول محور عرضی) ^۵ و یاو (غلتش حول محور قائم) ^۶ هستند [۳]. عمدتاً پاسخ های یک فونداسیون نیمه مغروق در درجات آزادی هیو، رول و پیچ وابستگی مستقیم به هندسه و ابعاد آن دارند؛ اما حرکات سرج، سوا و یاو عموماً توسط سیستم های مهارتی کنترل می شوند [۴]. در این بین؛ سه حرکت هیو، پیچ و رول (به خصوص حرکت هیو) از حرکات مهم و محدودکننده برای سازه نیمه مغروق هستند؛ زیرا این حرکات در

انرژی باد از دیرباز به عنوان یک منبع مناسب برای تأمین نیازهای انرژی شناخته شده است. در مناطق ساحلی و خشکی، این انرژی بخشی از نیازهای کشورهای مختلف را تأمین می کند. اما با اشغال شدن این مناطق، استفاده از انرژی باد فراساحل به عنوان یک رویکرد مؤثر در حال گسترش است. منابع باد در مزارع بادی فراساحل بیشتر و باکیفیت تر از خشکی هستند، و توسعه فناوری ها باعث شده تا کشورهای اروپایی این انرژی را به عنوان یکی از برنامه های توسعه ملی خود در نظر گیرند.

نیروگاه های بادی دریایی مزایای زیادی دارند از جمله مزایا عبارتند از عدم آسیب زدن به چشم انداز طبیعی به دلیل فاصله از ساحل، عدم ایجاد مشکل برای ساکنان مناطق ساحلی از نظر فضا و طبیعت و امکان تولید برق بیشتر به دلیل اینکه باد در مناطق دریایی با سرعت بیشتری وزیده و موانع طبیعی مانند کوه ها وجود ندارد. این ویژگی ها سبب شده مهندسان به سمت استفاده از سازه های شناور برای برداشت انرژی باد از اعماق دریا گرایش پیدا کنند.

صنعت فراساحلی در بخش های نفت و گاز به بلوغ رسیده است، اما تقاضا برای مزارع بادی فراساحلی در زمینه هایی همچون فونداسیون، جابجایی و حمل و نقل در حال افزایش است. در بخش نفت و گاز، هزینه های سرمایه ای بالا توجه پذیر است، اما در انرژی بادی، کاهش هزینه ها اهمیت بیشتری دارد. با افزایش ظرفیت توربین های بادی و انتقال آن ها به آب های عمیق تر، چالش های فنی و اقتصادی این صنعت نیز بیشتر شده است. از این رو، انتخاب سیستم سازه ای مناسب برای توربین های بادی اهمیت فراوانی دارد. فونداسیون های توربین بادی به دو دسته ثابت و شناور تقسیم بندی می شود (شکل ۱). همان گونه که شکل ۱ مشاهده می شود بسته به نواحی فراساحلی با اعماق مختلف، فونداسیون های مختلف پیشنهاد شده است. همچنین از شکل ۲ مشاهده می شود که هر چه به سمت آب های عمیق تر می رود میزان تولید انرژی الکتریکی برگرفته شده از توربین بادی افزایش یافته است. به عنوان نمونه برای فونداسیون های نیمه مغروق که تا اعماق ۶۰ تا ۹۰ متر می توانند نصب شوند، توان تولیدی به میزان ۴ تا ۵ مگاوات خواهد بود.



شکل ۱ انواع فونداسیون توربین بادی فراساحل [۱]

¹Surging
²Swaying
³Heave
⁴Rolling
⁵Pitching
⁶Yawing

شرایط طوفانی در عملیات بهره‌برداری این سازه می‌تواند اختلال ایجاد کرده و حتی منجر به خرابی سیستم‌های مهاری و اختلال در بهره‌وری انرژی باد گردند؛ بنابراین تلاش در جهت کاهش حرکات فونداسیون نیمه مغروق بادی، امری مهم و حائز اهمیت است.

برای این منظور مطالعاتی در سال‌های اخیر انجام و در حال کامل شدن است از جمله در مطالعه پاون و همکاران [۵]، نیروهای هیدرودینامیکی روی صفحات هیو برای توربین بادی نیمه شناور بررسی شده و نتایج آزمایش‌ها و شبیه‌سازی‌های عددی شامل ضرایب جرم اضافه و میرایی، فشارهای دینامیکی و مقایسه با مطالعات قبلی ارائه شد. مورنو و همکاران [۶] ضرایب هیدرودینامیکی صفحات هیو شش‌ضلعی را برای سکوهای نیمه شناور فراساحلی محاسبه و با داده‌های قبلی مقایسه کردند. الکان [۷] به بررسی سیستم سکوی شناور فراساحلی برای توربین بادی ۵ مگاواتی و تحلیل هیدرودینامیکی سیستم مهاری سکو پرداخت. جیانگ و همکاران [۸] عملکرد هیدرودینامیکی پلتفرم نیمه شناور با صفحه هیو شش‌ضلعی را مدل‌سازی عددی و با طراحی پیشین مقایسه کردند. کریشناونی و همکاران [۹] اثر نیروهای غلطشی بر توربین‌های بادی با اسپار و نیمه شناور را مقایسه و نشان دادند که سکوی اسپار مقرون‌به‌صرفه‌تر است. بزوناتی و همکاران [۱۰] اثر مقیاس صفحات هیو بر دامنه حرکت و پیوند طبیعی را بررسی کردند. در مطالعه ژانگ و همکاران [۱۱] تحلیل هیدرودینامیکی سه سکوی نیمه شناور توربین بادی ۵ مگاواتی انجام شد و اثرات بارهای موج مرتبه دوم بر حرکات سکو و تنش سیستم مهاری بررسی گردید. راجسوری و همکاران [۱۲] پاسخ هیدرودینامیکی توربین‌های نیمه شناور سه و چهارستونی را مقایسه کردند. شکوهیان و همکاران [۱۳] تأثیر پارامترهای سیستم مهاری بر پاسخ هیدرودینامیکی سکوی نیمه شناور را مورد بررسی قرار دادند. ژوو و همکاران [۱۴] تأثیر ابعاد و پارامترهای سیستم مهاری را بر هزینه ساخت و خواص هیدرودینامیکی توربین نیمه شناور چهارستونی ارزیابی کردند. الکافس و همکاران [۱۵] سه پیکربندی سکوی نیمه شناور را برای بهبود مقاومت در برابر موج با استفاده از نرم‌افزار ANSYS AQWA تحلیل کردند. لی و همکاران [۱۶] اثر صفحات هیو دایروی متصل به پانتون‌ها روی پاسخ‌های دینامیکی توربین بادی نیمه شناور را با استفاده از OpenFast و شبیه‌سازی‌های حوزه زمان تحت پنج شرایط ترکیبی موج و باد بررسی کردند. نتایج نشان داد که صفحات هیو تک و دوبل تأثیرات متفاوتی بر حرکات هیو و پیچ دارند، با کاهش ۴۰ درصدی در حرکات هیو برای سکوهای دارای صفحات هیو دوبل. صفحات هیو دوبل تنها در شرایط موج نامنظم تأثیر کمی بر گشتاور خمشی پایه برج داشتند. همچنین، میانگین حرکات پیچ برای صفحات هیو دوبل نسبت به صفحات هیو تک کاهش یافت. ونگ و

همکاران [۱۷] صفحات هیو داخلی و خارجی را برای افزایش پایداری سکوی نیمه شناور ۱۰ مگاواتی بررسی کرده و تأثیر آنها را بر ویژگی‌های هیدرودینامیکی سکو تحلیل کردند. نتایج نشان داد که تخلخل ۱۰ درصد با ۱۶ سوراخ بهترین طرح است که دامنه هیو را ۵.۷ درصد کاهش می‌دهد و کاهش زاویه صفحه بیرونی می‌تواند جرم اضافه‌شده را افزایش دهد. صفحات هیو داخلی و خارجی تأثیر مثبتی در کاهش دامنه هیو و پیچ در شرایط دریای شدید داشتند. جوهرانس [۱۸] استفاده از دیسک‌های نازک را برای کاهش حرکت پیچ سکوهای نیمه شناور با استفاده از CFD، روش‌های جریان پتانسیل و آزمایش‌ها بررسی کرد. نتایج نشان داد که استفاده از دیسک‌های نازک به‌طور مؤثر حرکت پیچ را کاهش می‌دهد و مقایسه آن با صفحات هیو نشان داد که دیسک‌ها باعث افزایش ۲۵٪ در جرم اضافه و ۷۸٪ در میرایی خطی می‌شوند.

هرچند مطالعاتی در خصوص استفاده از صفحات میراگر انجام شده است، اما تاکنون مطالعه جامعی که اثر این صفحات را در بخش‌های مختلف فونداسیون مورد بررسی قرار دهد، صورت نگرفته است. از این‌رو، مطالعه حاضر باهدف تکمیل تحقیقات آتی، به بررسی دقیق‌تر این مسئله به‌صورت عددی پرداخته و تلاش دارد تا ابعاد جدیدی از تأثیر صفحات میراگر را در طراحی و عملکرد فونداسیون‌ها آشکار سازد. برای این منظور، پس از مقدمه حاضر، در بخش دوم به معرفی فونداسیون نیمه مغروق بکار گرفته شده و فرضیات حاکم بر مسئله پرداخته می‌شود. بخش سوم معادلات حاکم بر مسئله را بیان می‌کند. صحت‌سنجی نتایج عددی حاصل‌شده با داده‌های آزمایشگاهی موجود در بخش چهارم ارائه خواهد شد. در بخش پنجم، اضافه‌کردن ورق‌های میراگر در بخش‌های مختلف بدنه سکو بررسی می‌شود. تجزیه و تحلیل نتایج در بخش ششم انجام خواهد شد و در نهایت، جمع‌بندی و پیشنهادهای برای تحقیقات آتی در بخش هفتم مطرح می‌گردد.

۲ - توربین بادی نیمه مغروق در این مطالعه

به‌منظور بهبود پاسخ هیدرودینامیکی تحت بار امواج با استفاده از ورق‌های میراگر، مدل اولیه کار Rajeswari and Nallayarasu [۱۲] که در سال ۲۰۲۰ در آزمایشگاه ساخته شد و حرکات هیو، پیچ و سرج آن استخراج گردید، استفاده شد. این مدل شامل چهار ستون مربعی در چهار طرف بدنه، یک ستون مرکزی و چهار پانتون شش‌ضلعی متصل به زیر ستون‌هاست. برای انسجام سازه‌ای، مهاربندهایی به ستون‌ها متصل شده‌اند (شکل ۳). در مطالعه حاضر، مشخصات سازه‌ای و پارامترهای محیطی حاکم بر مسئله مطابق با جدول ۲ در نظر گرفته شده است. فرضیات حاکم بر مسئله عبارتند از:

- اثر باد در نظر گرفته نشده و تمرکز بر تحلیل بدنه

Sec	۳۳/۳	پریود طبیعی پیچ سازه
kg	$۱/۶۶۵ \times ۱۰^۷$	جرم اضافه هیو
kg.m ² /o	$۲/۳ \times ۱۰^۸$	جرم اضافه پیچ
N.m	۴۳۳۸۲۳۴/۵	سختی هیدرودینامیکی هیو
N.m/o	۲۷۲۹۹۰۶۰	سختی هیدرودینامیکی پیچ

۳- معادلات حاکم بر مسئله

در این مطالعه، مدل سازی با استفاده از روش المان مرزی در نرم افزار سسم انجام شده است که شامل حل معادلات پتانسیل و تئوری تفرق برای بخش های حجیم و معادلات مورپسون برای بخش های لاغر است [۱۹]. مطالعه در حوزه فرکانس صورت گرفت. برای تحلیل طیفی سازه فوق، از عملگر دامنه پاسخ (RAO⁷) استفاده شده که نسبت دامنه پاسخ سازه به دامنه موج برخوردی را نشان می دهد و نقشی کلیدی در محاسبه طیف پاسخ دارد [۲۰، ۲۱]. این عملگر از حل معادله حرکت (معادله ۱) استخراج می شود.

$$-\omega^2 [\mathbf{M} + \mathbf{A}(\omega)] \bar{\mathbf{X}} + [i\omega \mathbf{A}(\omega) + \mathbf{B}(\omega)] i\omega \bar{\mathbf{X}} + [\mathbf{C} + \mathbf{K}] \bar{\mathbf{X}} = \bar{\mathbf{F}} \quad (1)$$

که در این رابطه \mathbf{A} ماتریس جرم اضافی، \mathbf{M} ماتریس جرم، \mathbf{B} ماتریس میرایی، \mathbf{C} و \mathbf{K} ماتریس های سختی هستند [۲۲].

طیف موج، توزیع چگالی انرژی امواج در محدوده فرکانسی مشخص را نشان داده و در تحلیل های دینامیکی سازه های دریایی استفاده می شود. مدل رایج آن، طیف جانسواپ است که برای امواج ناشی از باد مناسب بوده و بر اساس پارامترهایی مانند ارتفاع موج، فرکانس پیک و پارامتر شکل تعریف می شود که در این مطالعه از آن استفاده شده است (معادله ۲).

$$S_{\xi}(\omega) = \hat{a} H_s^2 \frac{\omega^{-5}}{\omega_p^4} \exp \left[-1.25(\omega) \right. \\ \left. / \omega_p \right)^{-4} \gamma \exp \left[-\frac{(\omega - \omega_p)^2}{2\tau^2 \omega_p^2} \right] \quad (2)$$

که در این رابطه H_s ارتفاع موج مشخصه، ω_p فرکانس پیک موج، τ پارامتر شکل است که مقدار این پارامتر اگر $\omega \leq \omega_p \Rightarrow \tau = \tau_a = 0.07$ در غیر این صورت $\tau = \tau_b = 0.09$ است و مقدار \hat{a} برابر با رابطه ۳ است.

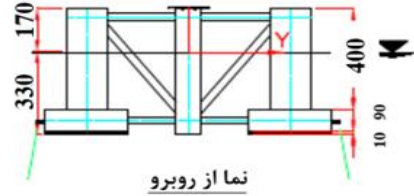
$$\hat{a} = \frac{0.0624}{0.230 + 0.0336\gamma - 0.185(1.9 + \gamma)^{-1}} \quad (3)$$

γ پارامتر پیک طیف است که در مطالعه حاضر عدد ۳/۳ استفاده شده است.

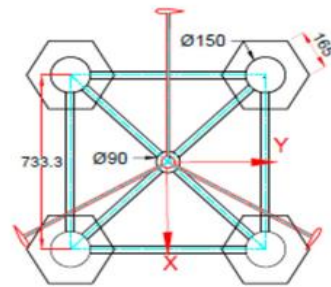
طیف پاسخ سازه شناور از حاصل ضرب طیف موج مورد نظر در مربع عملگر دامنه پاسخ به دست می آید. این رابطه در معادله (۴)

فونداسیون زیر آب و تحت اثر موج است.

- آب به عنوان یک محیط همگن و تراکم ناپذیر مدل سازی شده است.
- فرض بر این است که بدنه با افزودن ورق های میراگر در حالت پایدار خود باقی می ماند.



نما از روبرو



نما از بالا

شکل ۳. هندسه بدنه توربین بادی چهار ستونه همراه با پانتونها، سمت چپ نما از بالا را نشان می دهد و سمت راست نما از روبرو [۱۲]

جدول ۱. مشخصات فونداسیون توربین بادی مورد مطالعه [۱۲]

واحد	اندازه	مشخصات
m	۲۴/۷۵	آبخور مدل
m	۱۱/۲۵	قطر ستون
m	۳۰	ارتفاع ستون
m	۱۲/۳۷	طول ضلع پانتون شش ضلعی
m	۷/۵	ارتفاع پانتون شش ضلعی
m	۲/۲۵	قطر مهاربند
kg	$۲/۱ \times ۱۰^۷$	جابه جایی
m	۱۶/۲	مرکز ثقل
m	۶/۳۷۵	ارتفاع متاسنتریک
kg.m ²	$۲/۱۲ \times ۱۰^{۱۰}$	ممان اینرسی xx
kg.m ²	$۲/۱۲ \times ۱۰^{۱۰}$	ممان اینرسی yy
kg.m ²	$۲/۴۶ \times ۱۰^{۱۰}$	ممان اینرسی zz
-	۴	تعداد سیستم مهاری

جدول ۲. مشخصات محیطی دریا و ویژگیهای حرکتی فونداسیون مورد

مطالعه [۱۲]

واحد	مدل اصلی	مشخصات
m	۱۸۷/۵	عمق آب
	جانسواپ	طیف موج
m	۵	ارتفاع موج شاخص
Sec	۱۳/۱۷	پریود پیک موج
Sec	۱۹/۵	پریود طبیعی هیو سازه

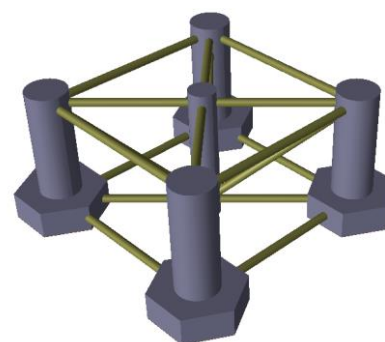
بیان شده است.

$$S_s(\omega) = RAO^2 \times S_\xi(\omega). \quad (4)$$

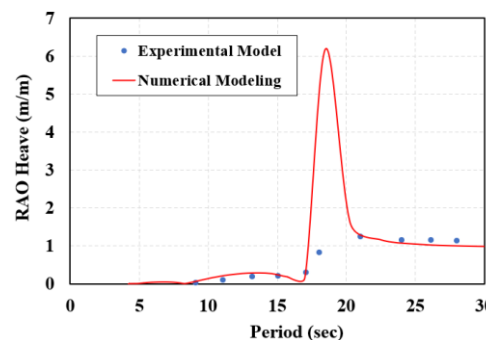
با داشتن طیف امواج و عملگر دامنه پاسخ سکو، طیف پاسخ سازه نیمه مغروق محاسبه می‌شود. سپس با استفاده از انتگرال گیری از سطح زیر نمودار طیف پاسخ سکو، مقدار میانگین پاسخ نهایی سازه محاسبه خواهد شد [۴].

۴- مدل سازی و صحت سنجی

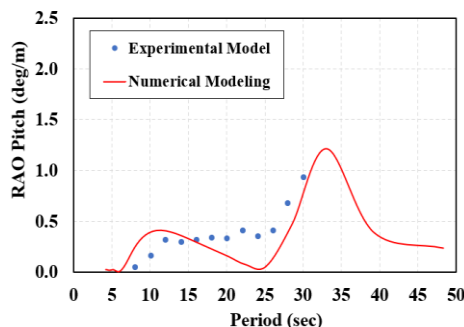
پیش از اعمال هرگونه راهکار برای بهبود عملکرد سازه، لازم است از صحت و دقت نرم افزار در محاسبه پاسخ های هیدرودینامیکی و همچنین از کارایی نرم افزار در برقراری تعادل اطمینان حاصل شود. به همین منظور، مدل سازی بدنه مطابق با ابعاد بیان شده در بخش قبل در نرم افزار سسم انجام شد (شکل ۴). مدل سازی فوق در ماژول هایدرودی فراخوانی شده و با اعمال پارامترهای مورد نظر (جدول ۱ و ۲) در بازه فرکانسی ۰/۱ تا ۱/۳ رادیان بر ثانیه تحلیل شد. سپس نتایج عملگر پاسخ هیو، پیچ و سرچ استخراج شده و با داده های آزمایشگاهی ارائه شده در مرجع [۱۲] مقایسه گردید (اشکال ۵ تا ۷). همان طور که مشاهده می شود حرکت هیو با ضریب همبستگی ۹۵ درصد؛ حرکت سرچ با ضریب همبستگی ۹۸ درصد و حرکت پیچ با ضریب همبستگی ۸۵ درصد تطابق قابل قبولی را ارائه داده اند. با اطمینان از صحت کار، در ادامه استفاده از ورق های میراگر به منظور بهبود پاسخ حرکات استفاده میگردد.



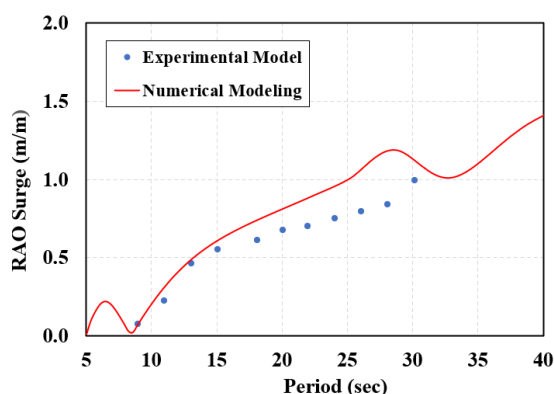
شکل ۴. فونداسیون مدل شده در نرم افزار سسم



شکل ۵. مقایسه عملگر دامنه پاسخ هیو مدل سازی شده در نرم افزار سسم با مدل آزمایشگاهی در دسترس



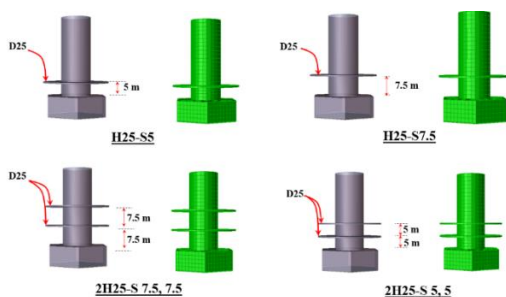
شکل ۶. مقایسه عملگر دامنه پاسخ پیچ مدل سازی شده در نرم افزار سسم با مدل آزمایشگاهی در دسترس



شکل ۷. مقایسه عملگر دامنه پاسخ سرچ مدل سازی شده در نرم افزار سسم با مدل آزمایشگاهی در دسترس

۵- مدل سازی فونداسیون اصلاح شده با ورق میراگر

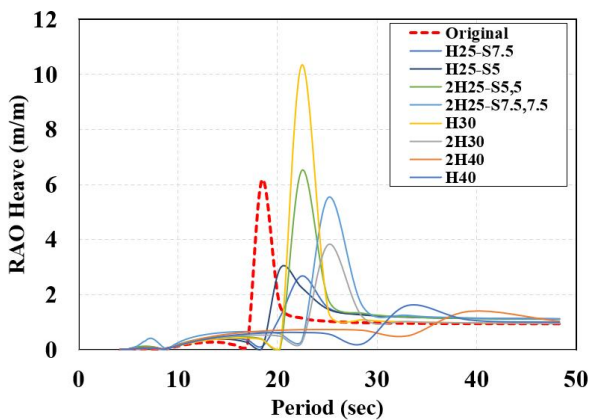
به منظور بررسی تأثیر ورق های میراگر در بهبود پاسخ حرکات سازه، ۸ حالت مختلف از ورق با ابعاد و فواصل مختلف مورد بررسی قرار گرفت. این ورق ها در دو بخش مختلف شامل پانتون ها و روی ستون ها تعبیه شده اند. هدف از این تحلیل، ارزیابی میزان اثربخشی ورق ها در کاهش حرکات دینامیکی و بهبود عملکرد سازه در شرایط مختلف است. جدول ۳ و اشکال ۸ و ۹ مشخصات هر یک از حالت های در نظر گرفته شده، شامل ابعاد، فاصله و وزن ورق ها را به تفصیل نمایش می دهد. همان گونه که مشاهده می شود، وزن ورق ها در مقایسه با وزن کل سکو بسیار ناچیز است. این ویژگی باعث می شود که اضافه وزن ناشی از نصب ورق ها تأثیر قابل توجهی بر توزیع وزن کلی سازه نداشته باشد و از این رو، کارایی دینامیکی سکو به صورت بهینه حفظ شود.



شکل ۸. ورق های متصل شده به ستون ها با فاصله های متفاوت و تعداد تک و دوبل

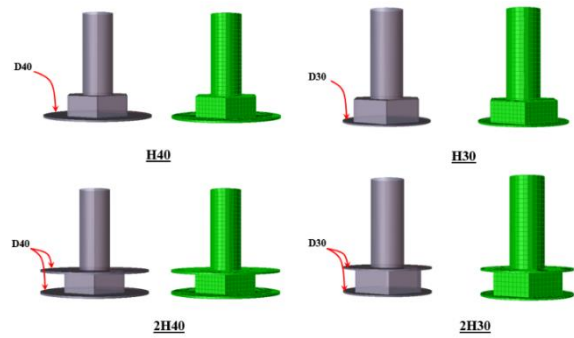
همراه با ورق‌های میراگر را در هشت حالت مختلف، مطابق با مشخصات ارائه شده در جدول ۳، نمایش می‌دهد. نتایج نشان می‌دهد که افزایش اندازه ورق‌ها تأثیر قابل توجهی بر تغییر پریود طبیعی سازه دارد. به طور مشخص، با افزایش قطر ورق‌ها، پریود طبیعی سازه افزایش می‌یابد. به عنوان مثال، در حالت بدون ورق، پریود طبیعی سازه برابر با ۱۸ ثانیه است. اما با افزودن حداقل یک ورق به قطر ۳۰ متر، این مقدار به ۲۵ ثانیه افزایش می‌یابد که نشان‌دهنده رشد ۲۸ درصدی در پریود طبیعی سازه است. این افزایش پریود ناشی از تأثیر ورق‌های میراگر بر رفتار اینرسی با افزایش جرم اضافی سازه می‌باشد [۲۱].

علاوه بر تغییر در پریود طبیعی، استفاده از ورق‌های میراگر به کاهش میزان پیک دامنه عملگر پاسخ در نزدیکی پریود طبیعی منجر می‌شود به‌ویژه در حالتی که دو ورق دابل با قطر ۴۰ متر به دور پانتون‌ها متصل شده‌اند، تغییرات چشمگیری مشاهده می‌شود. در این حالت، علاوه بر افزایش قابل توجه در پریود طبیعی، مقدار پیک در پریود طبیعی نیز به طور محسوسی کاهش یافته است. این امر نشان‌دهنده میرایی تشعشعی بالای حرکات هیو و کاهش انرژی انتقالی از موج به سازه است [۲۱]. به عبارت دیگر، ورق‌های میراگر در این حالت عملکرد بهینه‌ای در کاهش پاسخ هیو نشان می‌دهند.



شکل ۱۰. عملگر دامنه پاسخ بدنه توربین بادی همراه با ورق‌های میراگر

شکل ۱۱ عملگر دامنه پاسخ پیچ بدنه توربین بادی همراه با ورق‌های میراگر در نظر گرفته شده نشان می‌دهد. در حالت کلی مشاهده می‌شود که در این حالت نیز ورق‌های میراگر باعث افزایش پریود طبیعی سازه و دور شدن بیشتر سازه از پریود موج شده است. به عنوان مثال، در حالت بدون وجود ورق، دوره طبیعی سازه ۳۳ ثانیه است، اما با افزودن ورق با قطر حداقل ۳۰ متر، دوره طبیعی سازه به ۴۰ ثانیه افزایش یافته است که نشان‌دهنده یک رشد ۲۸ درصدی است.



شکل ۹. ورق‌های متصل شده به پانتون به صورت تک و دابل

جدول ۳. نامگذاری ورق‌های متصل شده به توربین همراه با وزن آنها

نام‌گذاری	توضیحات	یک وزن ورق (کیلوگرم)	وزن کل ورق‌ها (کیلوگرم)	وزن کل بدنه (کیلوگرم)
Original	۴ پایه بدون صفحات میراگر	-	-	۲/۱×۱۰ ^۷
H25-S7.5	یک ورق با قطر ۲۵ متصل به ستون در فاصله ۷/۵	۳/۰۷×۱۰ ^۵	۱/۲۳×۱۰ ^۶	۲/۲۲۳×۱۰ ^۷
H25-S5	یک ورق با قطر ۲۵ متصل به ستون در فاصله ۵	۳/۰۷×۱۰ ^۵	۱/۲۳×۱۰ ^۶	۲/۲۲۳×۱۰ ^۷
2H25-S5,5	دو ورق با قطر ۲۵ متصل به ستون در فاصله ۵	۳/۰۷×۱۰ ^۵	۲/۴۶×۱۰ ^۶	۲/۳۴۶×۱۰ ^۷
2H25-S7.5,7.5	دو ورق با قطر ۲۵ متصل به ستون در فاصله ۷/۵	۳/۰۷×۱۰ ^۵	۲/۴۶×۱۰ ^۶	۲/۳۴۶×۱۰ ^۷
H30	یک ورق با قطر ۳۰ متصل به کف پانتون	۱/۸۵×۱۰ ^۵	۷/۳۹×۱۰ ^۵	۲/۱۷۴×۱۰ ^۷
2H30	دو ورق با قطر ۳۰ متصل به پانتون	۱/۸۵×۱۰ ^۵	۱/۴۸×۱۰ ^۶	۲/۲۴۸×۱۰ ^۷
H40	یک ورق با قطر ۴۰ متصل به کف پانتون	۶/۱۶×۱۰ ^۵	۲/۴۶×۱۰ ^۶	۲/۳۴۶×۱۰ ^۷
2H40	دو ورق با قطر ۴۰ متصل به پانتون	۶/۱۶×۱۰ ^۵	۴/۹۲×۱۰ ^۶	۲/۵۹۲×۱۰ ^۷

۶. تجزیه و تحلیل نتایج

نتایج عملگر دامنه پاسخ حرکات هیو، سرج و پیچ برای بدنه سازه همراه با ورق‌های میراگر محاسبه می‌شود. پس از آن پاسخ‌های هیدرودینامیکی سازه در حضور ورق‌های میراگر به تفصیل مورد بررسی و مقایسه قرار می‌گیرد.

۶-۱. عملگر دامنه پاسخ بدنه توربین بادی اصلاح شده

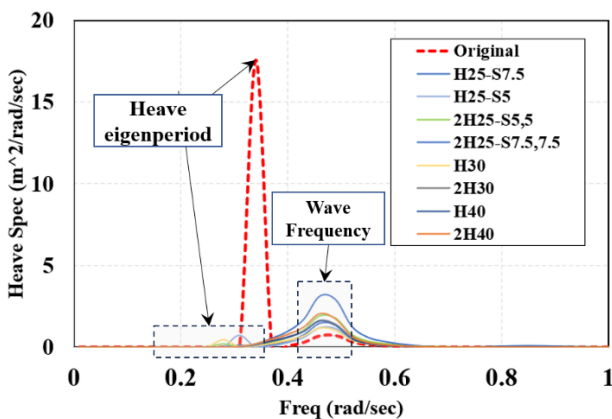
شکل ۱۰ عملگر دامنه پاسخ حرکات هیو بدنه توربین بادی

۶-۲. طیف پاسخ فونداسیون اصلاح شده با ورق میراگر

به منظور بررسی میزان پاسخ توربین بادی اصلاح شده با ورق های میراگر و با توجه به RAO های استخراج شده، طیف پاسخ سازه مطابق با اشکال ۱۳ تا ۱۵ استخراج شد. برای این منظور، از شرایط محیطی بیان شده در جدول ۲ و طیف جانسواپ استفاده گردید. در نهایت، با انتگرال گیری از سطح زیر نمودار میزان میانگین پاسخ محاسبه و درصد بهبود پاسخ فونداسیون توربین بادی مورد مطالعه تحت بار موج تعیین شد. در ادامه در مورد هر یک توضیحاتی داده می شود.

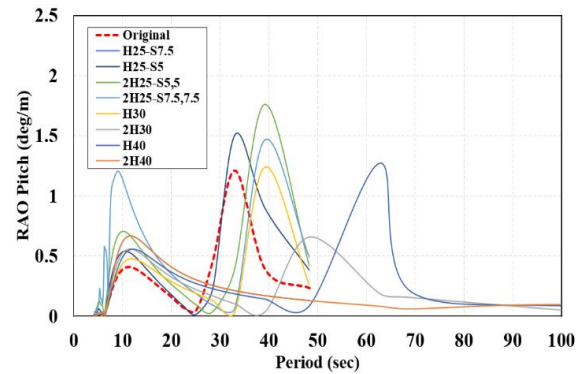
شکل ۱۳ طیف پاسخ حرکت هیو را برای تمامی حالات در نظر گرفته شده نشان می دهد. همان طور که مشاهده می شود، پیک فرکانس طبیعی هیو در زمان اتصال ورق به کمترین مقدار خود رسیده و در بسیاری از موارد از محدوده موج دور (کمتر از ۰/۲ رادیان بر ثانیه) شده و کاملاً حذف گردیده است. این مسئله نشان می دهد که استفاده از ورق های میراگر امکان پدیده تشدید را کاهش می دهد. در مواردی که پیک ظاهر شده است، از جمله ورق های H30 و H25-S5، نیز به طور قابل توجهی مقدار پاسخ کاهش یافته است. این نکته نشان دهنده این است که ورق های میراگر، میرایی هیدرودینامیکی سازه را بهبود می بخشد.

در محدوده های که پیک موج شکل گرفته است (محدوده ۰/۳ تا ۰/۸)، مشاهده می شود که ورق های میراگر باعث شده اند که سازه موج بیشتری را در راستای هیو دریافت کند. این پدیده به دلیل اتصال ورق های میراگر به سازه و در معرض موج قرار گرفتن، کاملاً بدیهی است.



شکل ۱۳. طیف پاسخ هیو بدنه توربین بادی همراه با ورق های میراگر مختلف

شکل ۱۴ طیف پاسخ حرکت پیچ را نشان می دهد. مشاهده می شود که در تمامی حالت پیچ پررود طبیعی حرکت پیچ حذف شده است که به این معنی است پررود سازه به اندازه کافی از پررود موج دور شده و امکان رخداد پدیده تشدید از بین رفته است. در محدوده موج به واسطه وجود ورق ها، سازه نیروی موج بیشتری گرفته است. همچنین زمانی که دو ورق به ستون ها با قطر ۲۵ و فاصله ۷/۵ متر از یکدیگر متصل می شود کوپل حرکت پیچ با سرج

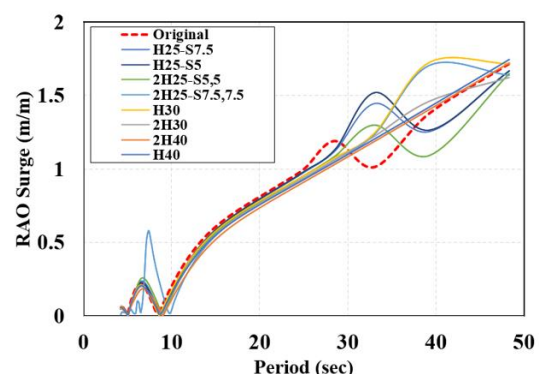


شکل ۱۱. عملگر دامنه پاسخ پیچ بدنه توربین بادی همراه با ورق های میراگر

همچنین مشاهدات نشان می دهد که زمانی که از یک ورق تک در ستون استفاده می شود، تفاوت قابل توجهی در دوره طبیعی سازه در فاصله های ۵ متر و ۷.۵ متر مشاهده نمی شود. با این حال، زمانی که ورق ها به حالت دوپل تبدیل می شوند، دوره طبیعی سازه به طور قابل توجهی از دوره تناوب موج دور می شود. از سوی دیگر، افزایش تعداد ورق ها روی ستون ها، مقدار پیک عملگر دامنه پاسخ را افزایش داده است. این افزایش ناشی از نیروهای اضافی است که به سازه وارد می شود و بر دامنه نوسانات آن تأثیر می گذارد.

علاوه بر این، زمانی که ورق ها به ستون اضافه می شود در پررودهای خیلی پایین تر از ۱۰ ثانیه به عبارتی در فرکانس های بالا، پیک سوم قابل شهود است که این پیک نشان دهنده افزایش سختی بیشتر سازه است و ممکن است در سیستم های مهاری اختلال ایجاد کند. هرچه فاصله ورق از تراز آب دریا کمتر باشد این خطر بیشتر است. این پیک در واقع پیک ناشی از حرکت سرج در فرکانس های بالا است. برای حذف پیک می توان از سیستم مهاری با سختی کم استفاده کرد تا فرکانس در محدوده فرکانسهای پایین رخ دهد و در نتیجه از فرکانس موج دور شود.

شکل ۱۲ عملگر دامنه پاسخ حرکت سرج را نشان می دهد. از شکل مشاهده می شود که دوره تناوب طبیعی حرکت سرج در دوره های کوتاه یا فرکانس های بالا اتفاق می افتد. علت این امر آن است که در این مدل، جهت شبیه سازی، فرض شده است که سیستم مهاری با سختی بالایی به سیستم متصل است از این رو، امکان جابه جایی های زیاد وجود ندارد.



شکل ۱۲. عملگر دامنه پاسخ سرج بدنه توربین بادی همراه با ورق های میراگر

رخ داده است.

میانگین پاسخ حرکات سازه با انتگرال گیری از سطح زیر نمودار درصد بهبود آن ها محاسبه شد (جدول ۴). همانطور که مشاهده می شود حرکت هیو و سرج در تمامی حالات بهبود یافته اند به نحوی که بیشترین درصد بهبود برای حرکت هیو ۵۶/۸۶ درصد و برای حرکت سرج ۱۷/۴۳ درصد است. اما در مورد حرکت پیچ مشاهده می شود که میانگین پاسخ حرکت پیچ در مقایسه با حالت اولیه بدون وجود ورق افزایش یافته شد. این مسئله نشان می دهد که اگر چه وجود ورق باعث افزایش پریود طبیعی پیچ سازه شده و با دور شدن از پریود موج پدیده تشدید را تا حدود زیادی از بین می برد اما ورق های میراگر سطح تماس سازه را با آب افزایش می دهند در نتیجه این مسئله باعث تولید نیروهای هیدرودینامیکی اضافی می شود. اگر این نیروها به طور نامتعادل در اطراف مرکز جرم عمل کنند، می توانند لنگر پیچشی بیشتری ایجاد کنند و در نتیجه حرکت پیچ را افزایش دهند.

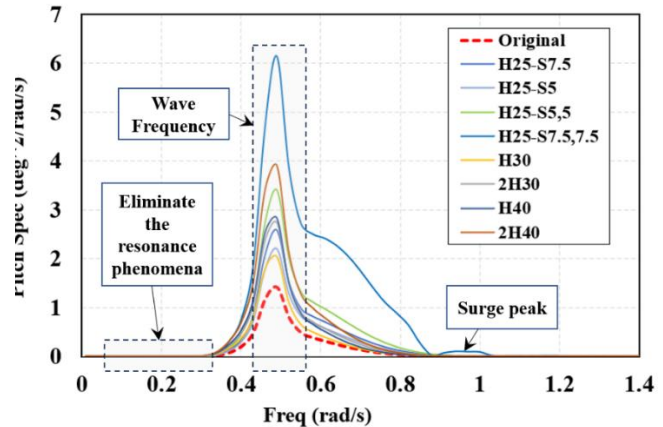
۴-۶ بررسی پاسخ های هیدرودینامیکی سازه تحت بارهای مختلف موج

به منظور رفتار فونداسیون سازه تحت بارهای موج در شرایط مختلف، این بار شرایط موج ۱۰ ساله و ۱۰۰ ساله مطابق با جدول ۵ در نظر گرفته شد. طیف پاسخ توربین بادی اصلاح شده تحت طیف موج جانسواپ محاسبه شد.

همان گونه که در اشکال ۱۶ و ۱۷ مشاهده می شود، پاسخ حرکت هیو در تمامی حالات نسبت به حالت بدون وجود ورق های میراگر کاهش یافته است. از شکل ۱۷ مشخص است که تا ۷۰ درصد حتی در شرایط موج ۱۰۰ ساله حرکت هیو بهبود یافته است.

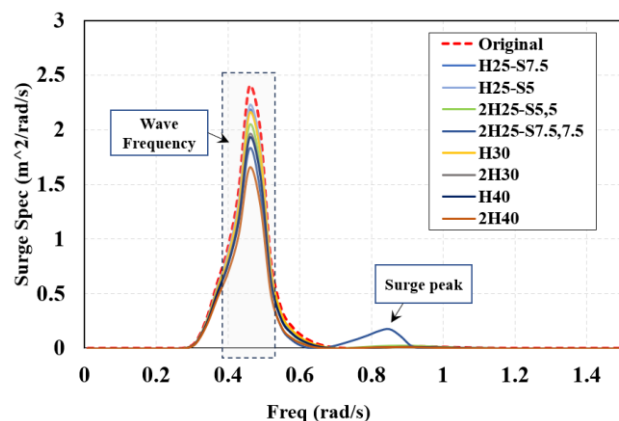
جدول ۴. درصد بهبود پاسخ حرکات فونداسیون اصلاح شده با ورق های میراگر

نام گذاری فونداسیون ها	پاسخ هیو (متر)	درصد بهبود پاسخ هیو	پاسخ پیچ (درجه)	درصد بهبود پاسخ پیچ	پاسخ سرج (متر)	درصد بهبود پاسخ سرج
Original	۱/۷۷		۰/۸۶		۱/۰۶	
H25-S7.5	۰/۱۸	۵۴/۵۸	۱/۲۱	-۲۸/۷۴	۱/۰۱	۴/۹۶
H25-S5	۰/۷۶	۵۶/۸۶	۱/۱۰	-۲۲/۱۲	۱/۰۲	۳/۹۹
2H25-S5,5	۰/۹۴	۴۶/۸۰	۱/۴۱	-۳۸/۷۹	۰/۹۸	۷/۹۳
2H25-S7.5,7.5	۱/۲۳	۳۰/۶۴	۲/۰۸	-۵۸/۵۸	۰/۹۵	۱۰/۱۰
H30	۰/۷۷	۵۶/۵۸	۱/۰۲	-۱۶/۰۷	۱/۰۰	۵/۳۶
2H30	۰/۸۶	۵۱/۴۸	۱/۲۰	-۲۸/۳۴	۰/۹۵	۱۰/۰۲
H40	۰/۸۵	۵۱/۷۷	۱/۲۰	-۲۸/۲۷	۰/۹۵	۱۰/۵۳
2H40	۰/۹۷	۴۵/۱۱	۱/۴۳	-۳۹/۶۴	۰/۸۸	۱۷/۴۳



شکل ۱۴. طیف پاسخ پیچ بدنه توربین بادی همراه با ورق های میراگر مختلف

شکل ۱۵ طیف پاسخ حرکت سرج را نشان می دهد. همان گونه که مشاهده می شود به غیر از ورق 2H25-S7.5, 7.5 در بقیه حالات پیک حرکت سرج به طور کامل حذف شده است. از سوی دیگر افزایش ورق ها باعث کاهش حرکت سرج در محدوده موج بین ۰/۳ تا ۰/۸ رادیان بر ثانیه است که این امر به دلیل این است که در جهت سرج ورق ها ضخامت ناچیز داشته و تاثیری در سطح تماس سازه با آب ایجاد نکرده اند. کاهش حرکت سرج به دو دلیل رخ داده است: اولاً، حتی ورق های نازک نیز با افزایش سطح تماس سازه با آب در جهت عمود بر حرکت سرج، سبب افزایش میرایی تشعشعی می شوند. این افزایش میرایی منجر به کاهش انتقال انرژی از موج به سازه در جهت سرج می گردد. ثانیاً، این ورق ها الگوی جریان اطراف بدنه را تغییر داده و موجب افزایش نیروهای مقاوم در برابر حرکت می شوند. لذا علی رغم ضخامت کم، ورق ها پاسخ سرج کاهش داشته است.



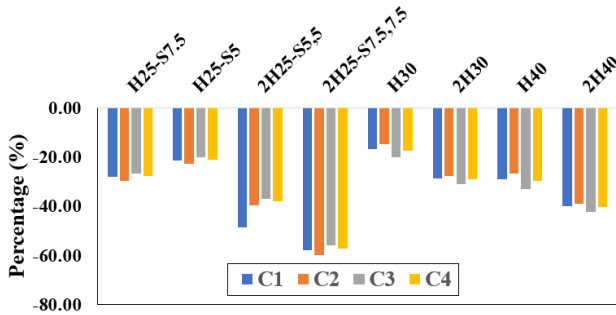
شکل ۱۵. طیف پاسخ حرکت سرج بدنه توربین بادی همراه با ورق های میراگر مختلف

۳-۶ درصد بهبود پاسخ حرکات فونداسیون اصلاح شده با ورق

به منظور مشخص شدن میزان پاسخ سازه تحت طیف موج با ارتفاع موج شاخص و پریود پیک نشان داده شده در جدول ۲، مقدار

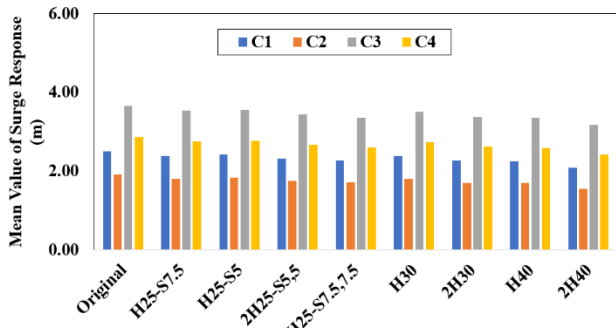
جدول ۵. چهار حالت گوناگون امواج در مناطق مختلف [۲۰]

نام‌گذاری	شرایط موج	ارتفاع موج شاخص (متر)	پریود موج (ثانیه)
C1	موج ده‌ساله در جنوب دریای چین	۱۱/۱	۱۳/۶
C2	موج ده‌ساله در شمال غربی استرالیا	۱۰/۰	۱۲/۵
C3	موج صدساله در جنوب دریای چین	۱۳/۳	۱۵/۵
C4	موج صدساله در خلیج مکزیک	۱۲/۲	۱۴/۰

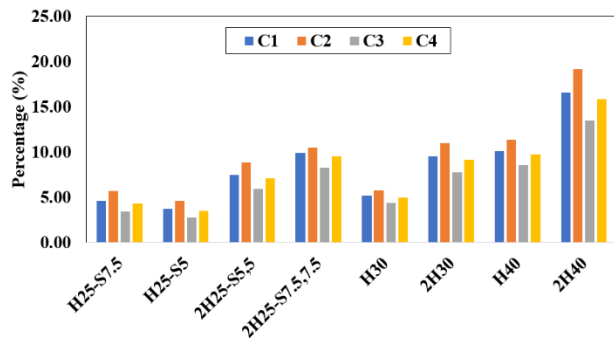


شکل ۱۹. درصد کاهش پاسخ پیچ توربین بادی اصلاح شده با ورق های میراگر نسبت به حالت توربین بدون وجود میراگر

اشکال ۲۰ و ۲۱ به ترتیب میانگین پاسخ حرکت سرج و درصد بهبود حرکت تحت شرایط گوناگون موج را نشان می دهد. همانگونه که مشاهده می شود، ورق های میراگر در بهبود حرکت سرج موثر بوده اند.



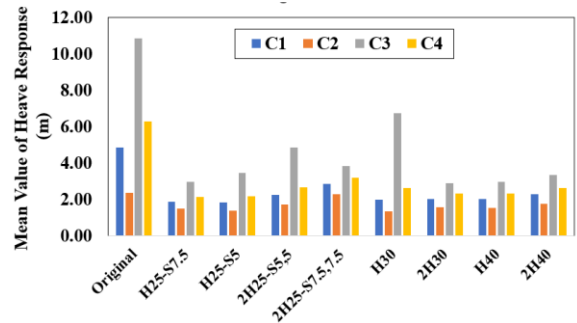
شکل ۲۰. میانگین پاسخ سرج توربین بادی اصلاح شده با ورق های میراگر



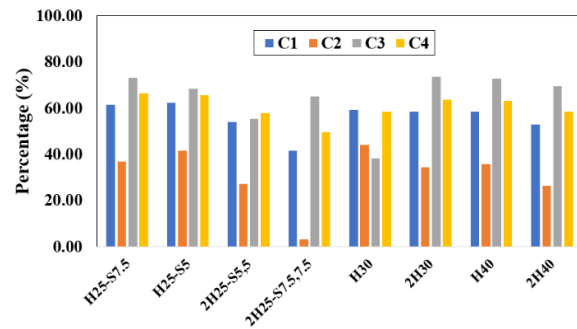
شکل ۲۱. درصد کاهش پاسخ سرج توربین بادی اصلاح شده با ورق های میراگر نسبت به حالت توربین بدون وجود میراگر

۵-۶ انتخاب مناسب ترین حالت ورق

انتخاب مناسب ترین حالت ورق به هدف عملکرد بستگی دارد. اگر حرکت هیو نگران کننده باشد، مشاهده شده است که ورق های میراگر می تواند بهبود قابل توجهی در این حرکت ایجاد کند. از سوی دیگر، اگر نگرانی اصلی مربوط به حرکت پیچ باشد، ورق ها نمی توانند پاسخ پیچ را به طور مستقیم بهبود دهند، اما قادر به افزایش پریود طبیعی پیچ سازه هستند؛ بنابراین، در صورتی که پریود طبیعی پیچ مسئله مهمی باشد، استفاده از ورق ها گزینه ای مناسب خواهد بود. در مورد حرکت سرج، اگرچه ورق ها توانسته اند تا حدی

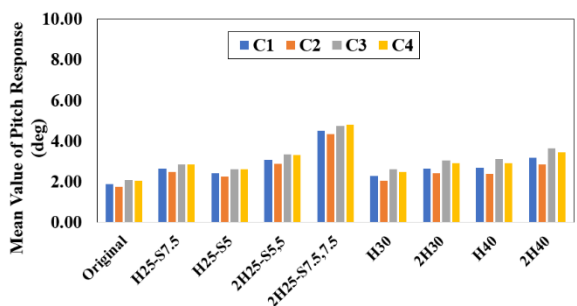


شکل ۱۶. میانگین پاسخ هیو توربین بادی اصلاح شده با ورق های میراگر



شکل ۱۷. درصد کاهش پاسخ هیو توربین بادی اصلاح شده با ورق های میراگر نسبت به حالت توربین بدون وجود میراگر

شکل ۱۸ میزان پاسخ پیچ توربین بادی را در حالت اصلاح شده با ورق های میراگر و بدون ورق میراگر تحت شرایط مختلف امواج نمایش می دهد. همچنین، شکل ۱۹ درصد بهبود پاسخ پیچ را نشان می دهد. همان طور که مشاهده می شود، ورق های میراگر برخلاف حرکت هیو تأثیر مثبتی در بهبود حرکت پیچ نداشته اند، بلکه در مقایسه با حالت اولیه مقادیر بیشتری را نشان داده اند و رفتاری مشابه با حالت عملیاتی داشته است.



شکل ۱۸. میانگین پاسخ پیچ توربین بادی اصلاح شده با ورق های میراگر

(۵) ورق‌های میراگر می‌توانند با افزایش میرایی تشعشعی و جرم اضافی، تأثیر مثبتی در کاهش حرکت سرج و هیو داشته باشند. اما این تأثیر در حرکت پیچ ممکن است متفاوت باشد، زیرا پیچ تحت تأثیر لنگرهای هیدرودینامیکی پیچیده‌تری قرار دارد.

(۶) محاسبه میانگین پاسخ حرکات نشان داد استفاده از ورق‌ها می‌تواند بیش از ۵۶ درصد پاسخ هیو را بهبود بخشد. با این حال، به دلیل افزایش سطح تماس سازه با آب، پاسخ پیچ افزایش یافت.

(۷) بررسی مقدار میانگین طیف پاسخ توربین بادی اصلاح شده تحت شرایط امواج ده‌ساله و صدساله نشان داد که ورق‌های میراگر حتی در شرایط بحرانی می‌توانند به طور قابل توجهی حرکت هیو را کاهش دهند؛ اما باعث افزایش حرکت پیچ می‌شوند.

(۸) اگرچه ورق‌های میراگر باعث بهبود میانگین پاسخ حرکت سرج شدند، اما برای قضاوت دقیق‌تر این مورد، لازم است سیستم‌های مهاری به‌طور کامل مدل شوند.

در نهایت، جمع‌بندی نشان می‌دهد که استفاده از ورق‌های میراگر، به‌ویژه در سازه‌های شناور بزرگ مانند توربین‌های بادی دریایی، می‌تواند به‌عنوان یک راهکار مؤثر برای بهبود پایداری و کاهش پاسخ‌های دینامیکی حرکتی مورد استفاده قرار گیرد. نتایج این تحقیق می‌تواند به طراحی بهینه‌تر سازه‌های شناور با عملکرد بهتر در محیط‌های دریایی کمک کرده و راه‌حل‌های اقتصادی و کارآمدی برای سازه‌های نیمه‌مغروق فراهم آورد.

همچنین، انجام آزمایش‌های فیزیکی در مقیاس کوچک یا در مقیاس واقعی، به‌منظور مقایسه با نتایج عددی، می‌تواند به افزایش اعتبار و کاربردپذیری نتایج مدل‌سازی‌ها کمک شایانی نماید. از سوی دیگر، نقش سیستم‌های مهاری در پاسخ‌های دینامیکی سازه بسیار حائز اهمیت است و بررسی اثر متقابل میان ورق‌های میراگر و سیستم‌های مهاری پیشرفته می‌تواند منجر به بهبود عملکرد کلی سازه شود. استفاده از روش‌های بهینه‌سازی چندهدفه جهت تعیین مناسب‌ترین ترکیب ابعاد، ضخامت و محل نصب ورق‌ها، به‌منظور دستیابی به بیشینه پایداری و کمینه‌سازی پاسخ‌های دینامیکی نیز از دیگر مسیرهای پیشنهادی برای تحقیقات آینده است. علاوه بر این، در مطالعه حاضر اثر نیروی باد در تحلیل لحاظ نشده است. با توجه به اینکه بارهای باد نقش مؤثری در عملکرد توربین‌های بادی ایفا می‌کنند، پیشنهاد می‌شود که در پژوهش‌های آتی، اندرکنش باد و موج و تأثیر آن بر عملکرد ورق‌های میراگر نیز مورد بررسی دقیق قرار گیرد.

این حرکت را بهبود بخشند، اما ارزیابی دقیق تنها زمانی ممکن است که سیستم‌های مهاری به‌صورت دقیق مدل‌سازی شوند. در نهایت، می‌توان نتیجه گرفت از بین ۸ حالت در نظر گرفته شده در این مطالعه ورق‌های H25-S5 و H30 به دلیل وزن کمتر، هزینه پایین‌تر و بهبود قابل‌توجه حرکت هیو، گزینه‌های بهینه محسوب می‌شوند.

۷. جمع بندی و پیشنهادات

در این مطالعه، عملکرد ورق‌های میراگر در کاهش پاسخ‌های هیدرودینامیکی توربین بادی نیمه‌مغروق، به‌ویژه در کاهش حرکت هیو، سرج و پیچ تحت شرایط امواج، مورد بررسی قرار گرفت. مدل‌سازی به‌صورت عددی با استفاده از نرم‌افزار سسم انجام شد. ابتدا مدل بدون وجود ورق میراگر شبیه‌سازی و با داده‌های آزمایشگاهی موجود مقایسه گردید. پس از اطمینان از صحت مدل‌سازی، شبیه‌سازی‌ها با وجود ورق‌های میراگر در نظر گرفته شد. مدل‌سازی در هشت حالت مختلف با اتصال ورق به پانتون‌ها و ستون‌ها صورت گرفت. فرض شد ورق‌ها ضخامت کمتر از ۱۰۰ میلی‌متر دارند و به‌صورت متقارن به فونداسیون متصل می‌شوند؛ بنابراین، مرکز جرم ثابت نگه داشته شد. با توجه به فاصله ورق‌ها از تراز آب، اندرکنش باد و موج نادیده گرفته شد و فرض گردید فونداسیون تنها تحت تأثیر امواج قرار دارد. نتایج حاصل از این مطالعه به‌صورت زیر جمع‌بندی می‌شود:

- (۱) نتایج نشان داد استفاده از ورق‌های میراگر تأثیر چشمگیری بر تغییرات پرپود طبیعی سازه داشته و قادر است دامنه پاسخ را در نزدیکی پرپود طبیعی به‌طور قابل توجهی کاهش دهد. این کاهش ناشی از میرایی بالای ورق‌ها و توانایی جذب و انتقال انرژی موج به سازه است.
- (۲) افزایش قطر ورق‌های میراگر باعث افزایش پرپود طبیعی سازه شد. به‌عنوان مثال در حالت اتصال دو ورق با قطرهای بزرگ‌تر به پانتون‌ها (2H40)، افزایش پرپود طبیعی و کاهش چشمگیر پیک دامنه در نزدیکی پرپود طبیعی مشاهده گردید.
- (۳) موقعیت و فاصله ورق‌ها نقش مهمی در تأثیر آن‌ها بر پاسخ‌های سازه داشت. ورق‌هایی که به ستون‌ها متصل شده و در فاصله‌های مشخصی از یکدیگر قرار داشتند، سختی سازه را افزایش داد؛ اما در فرکانس‌های بالاتر موجب ایجاد پیک‌های اضافی شدند.
- (۴) استفاده از ورق‌های میراگر باعث دورشدن فرکانس سازه از فرکانس موج شده و احتمال ایجاد پدیده تشدید را به‌طور قابل توجهی کاهش داد.

- offshore wind turbines," *Ocean Engineering*, vol. 207, p. 107371, 2020.
- [12] K. Rajeswari and S. Nallayarasu, "Hydrodynamic response of three-and four-column semi-submersibles supporting a wind turbine in regular and random waves," *Ships and Offshore Structures*, vol. 16, no. 10, pp. 1050-1060, 2021.
- [13] M. Shokouhian, M. Head, J. Seo, W. Schaffer, and G. Adams, "Hydrodynamic response of a semi-submersible platform to support a wind turbine," *Journal of Marine Engineering & Technology*, vol. 20, no. 3, pp. 170-185, 2021.
- [14] S. Zhou, K. Müller, C. Li, Y. Xiao, and P. W. Cheng, "Global sensitivity study on the semisubmersible substructure of a floating wind turbine: Manufacturing cost, structural properties and hydrodynamics," *Ocean Engineering*, vol. 221, p. 108585, 2021.
- [15] A. G. Elkafas, Y. M. Ahmed, and M. M. Elgohary, "Hydrodynamic analysis of floating offshore wind turbine With different numbers of offset columns," *Marine Technology Society Journal*, vol. 56, no. 2, pp. 8-19, 2022.
- [16] H. Li, J. Zheng, J. Zhang, W. Peng, and J. Peng, "Numerical investigation on dynamic responses of a semi-submersible wind turbine with different types of heave plates," *Ocean Engineering*, vol. 310, p. 118650, 2024.
- [17] H. Wang, Y. Yang, Y. Guo, and J. Lian, "Influence of Heave Plate on the Dynamic Response of a 10 MW Semisubmersible Floating Platform," *Journal of Marine Science and Engineering*, vol. 12, no. 12, p. 2156, 2024.
- [18] I. Pregnan Johannesen, "Enhancing pitch stability in floating wind platforms: the hydrodynamic effects of thin plates," 2024.
- [19] A. Emami and M. Karimirad, "Further development of offshore floating solar and its design requirements," *Marine Structures*, vol. 100, p. 103730, 2025.
- [20] A. Emami, N. Pourjafari, and A. Parghi, "Effect of porous SBR composites on mitigating the heave motion response of a semi-submersible platform," *Ocean Engineering*, vol. 2, ۹۵p. 116856, 2024.
- [21] A. Emami and A. R. M. Gharabaghi, "Application of poroelastic layers in a semi-submersible platform: Devising an efficient heave motion response reduction method," *Ocean engineering*, vol. 201, p. 107148, 2020.
- [22] I. Rivera Arreba, "Computation of nonlinear wave loads on floating structures," NTNU, 2017 .
- [1] E. Dornhelm, H. Seyr, and M. Muskulus, "Vindby—a serious offshore wind farm design game," *Energies*, vol. 12, no. 8, p. 1499, 2019.
- [2] M. Karimirad, *Offshore energy structures: for wind power, wave energy and hybrid marine platforms*. Springer, 2014.
- [3] P. Mohammadi, A. Emami, A. R. M. Gharabaghi, S. Tahmooresi, M. R. Chenaghlo, and H. B. Ghavifekr, "Evaluation of RAOs of a semi-submersible platform using field measurements: A full-scale model in Caspian sea environmental conditions," *Marine Structures*, vol. 91, p. 103467, 2023.
- [4] A. Emami and A. R. M. Gharabaghi, "Improvement of the heave motion of a semi-submersible platform with damping sheets subjected to sea waves," *Journal Of Marine Engineering*, vol. 19, no. 38, pp. 62-76, 2023.
- [5] C. Lopez-Pavon and A. Souto-Iglesias, "Hydrodynamic coefficients and pressure loads on heave plates for semi-submersible floating offshore wind turbines: A comparative analysis using large scale models," *Renewable Energy*, vol. 81, pp. 864-881, 2015.
- [6] J. Moreno, K. P. Thiagarajan, and M. Cameron, "Hydrodynamic coefficients of hexagonal heave plates for floating offshore wind turbine platforms," in *International Conference on Offshore Mechanics and Arctic Engineering*, 2016, vol. 49972: American Society of Mechanical Engineers, p. V006T09A032 .
- [7] S. Alkan, "Comparative hydrodynamic analysis of catenary and tension leg moored floating offshore wind turbine," in *1st International Conference on Energy Systems Engineering, November, 2017*, pp. 291-298 .
- [8] Y. Jiang ,G. Hu, G. Jin, Z. Sun, J. Li, and Z. Zong, "Hydrodynamic performance of a novel floating foundation for offshore wind turbine," in *ISOPE International Ocean and Polar Engineering Conference*, 2018: ISOPE, pp. ISOPE-I-18-559 .
- [9] K. Balakrishnan, S. R. Arwade, D. J. DeGroot, C. Fontana, M. Landon, and C. P. Aubeny, "Comparison of multiline anchors for offshore wind turbines with spar and with semisubmersible," in *Journal of Physics: Conference Series*, 2020, vol. 1452, no. 1: IOP Publishing, p. 012032 .
- [10] A. Bezunartea-Barrio *et al.*, "Scale effects on heave plates for semi-submersible floating offshore wind turbines: case study with a solid plain plate," *Journal of Offshore Mechanics and Arctic Engineering*, vol. 142, no. 3, p. 031105, 2020.
- [11] L. Zhang, W. Shi, M. Karimirad, C. Michailides, and Z. Jiang, "Second-order hydrodynamic effects on the response of three semisubmersible floating